

BO-PVDF 필름에서 압전성의 온도 의존성

박 흥 우 임 기 조 김 봉 품
 충북 대학원 충북 대 교수 한양대 교수

DEPENDANCE OF TEMPERATURE ON THE PIEZOELECTRICITY
 IN BO-PVDF FILM

Heung-woo Park* Kee Joe Lim * Bong Heup Kim**

* Chungbuk Nat'l Univ. **Hanyang Univ.

1. 서 론

생체 또는 일부 합성고분자수지에서 압전성이 인지된 것은 오래전부터이나 압전효과가 매우 적어서 기계전기 변환소자의 소재로서는 별로 주목되지 않았으나 1969년 Kawai가 polyvinylidene fluoride (PVDF)에서 압전, 초전성 발표 후 공업적 응용이 가능한 실용적 농동수자의 소재로서 고분자 수지들에 대한 관심이 고조되었다.

고분자 압전체는 기존의 세라믹 압전체에 비하여 유연성, 내충격성, 박막가공성이 우수하고 유전율이나 음향 임피던스가 작으며 구동전개에 의한 성능 열화나 경시 변화가 작은 점등의 장점이 있어서 특장¹⁻²⁾을 부른에서는 무기 압전재보다 유리한 점이 많다. 현재까지의 연구 결과 PVDF, P(VDF-TrFE) 등이 우수한³⁻⁴⁾ 압전효과를 나타내는 것으로 알려져 있으며 PVDF에⁵⁾ 관련된 압전성에 대한 연구는 조직양상, 연신율, poling⁶⁾,⁷⁾ 조건 등등이 압전성에 미치는 효과등으로 많은 보고⁸⁾가 있었으나 무기압전재에 비해서 역사가 일천하여⁹⁾ 불명한 점이 많고 압전기구도 견해의 불일치가 많다. 일반적으로 고분자 압전기구는 무기 압전재의 경우와는 상이한 점이 많고 압전 특성도 고주파, 저주파 영역에서 많은 차이가 있음을 주지의 사실이다.

본 연구에서는 초음파 변환기등의 응용면을 고려하여 PVDF의 고주파(수십MHz) 영역에서 압전성의 온도 특성을 관측하고 압전기구를 검토하여 보고자 한다.

2. 실험

1) 시편 제작

시료는 Kureha의 화학의 Capacitor 금의 두께 50 μm 이 측연신 PVDF(BO-PVDF) 필름을 사용하였으며 이 필름의 결정화도는 52%, β 형 결정 함유율은 39%였다. 압전 횡진동 효과와 종진동 효과를 측정하기 위하여 각각 3x30mm의 직사각형 및 10mm의 원형으로 접단하여 silver paste를 도포 후 온도 20°C, 70㎐에서 0.2MV/cm 0.6MV/cm의 전계를 각각 1시간씩 인가하여 poling하였다.

2) 실험 방법

각 poling 조건에서 제작된 시편들의 압전특성을 IRE standard 압전공진법에 의해 수-수십MHz 범위에서 0°C~100°C의 본의기에서 측정하였으며 Sawyer-Tower 법에 의해 동일 온도 범위에서의 각 시편들의 D-E 히스 테리시스템곡선을 관측하였다.

3. 실험 결과 및 고찰

fig1,2는 압전공진법에 의해 측정 산출한 횡진동 모드 전기기계 결합계수(f_{31})와 종진동 모드 전기기계 결합계수(f_{33})를 온도에 따라 도시한 것이다. 전동 모드에 관계없이 전기기계 결합계수는 0~100°C 범위에서 일정하게 나타나고 있으며 f_{33} 가 f_{31} 보다 훨씬 크거나타나는 이방성을 보여주고 있다.

fig3,4는 압전변형 정수(횡진동 압전변형 정수: d_{31} 종진동 압전변형 정수: d_{33})의 온도 변화를 나타낸 것으로 d_{33} 가 d_{31} 보다 2order 정도 크게 나타나는

이방성을 보이며 0~100°C의 범위에서 d_{31} 은 온도에 따른 변화가 거의 없으나 d_{33} 은 증가됨을 보여주고 있다. 또한 poling 전류가 높을수록 poling 온도가 높을수록 d_{31} , d_{33} 은 크게 나타나며 0.6MV/cm, 20°C의 poling 조건보다 0.2MV/cm, 70°C의 경우가 크게 나타나는 poling 온도의 강한 의존성을 보이고 있다.

Fig 5는 압전용력정수 e_{33} 을 온도에 따라 도시한 것으로 온도변화에 무관하게 거의 일정함을 알 수 있다. 고분자 압전체의 압전성의 기원에 대한 것으로 제시된 것은⁴⁻⁶⁾

(1) 변형에 의한 유전율의 변화(electrostriction effect)

(2) 치수변화(dimensional effect)

(3) 체적변화

(4) 자발분극의 변화

(5) 공간하분극의 변화효과 등이 제시되어 있으나 공간하분극에 따른 효과는 maxwell안화시간이 고주파의 용력변화에 비해서 월씬크므로 이에 의한 기여는 본 실험법의에서는 적을것으로 생각된다.

Fig4와 5의 압전정수의 온도변화 특성은 다음과 같이 생각할 수 있다. PVDF는 반정질이 많고 결정부와 비정질부로 구분하여 결정부의 압전정수를 \bar{d} , \bar{e} 라 할 때

$$d_{33} = \frac{\bar{d}_{33}}{1 + \gamma \left(\frac{E_a}{E_c} \right)}$$

$$e_{33} = \frac{\bar{e}_{33}}{1 + \gamma}$$

단 γ = 정질부에 대한 비정질부의 체적

E_a = 비정질부의 한성정수

E_c = 정질부의 한성정수

로 표시 할 수 있는데 정질부의 \bar{d} , \bar{e} 는 온도에 무관하다고 가정하면 -40~-50°C의 T_g , 175°C T_m 을 갖는 PVDF는 0°C~100°C에서는 γ 는 거의 일정할것이므로 e 는 온도에 따라 변화가 없으나 온도의 증가에 따라 E_a 는 E_c 에 비해 감소 될것이므로 d_{33} 은 온도가 증가함에 따라 증가될 것이다.

Fig4,5에서 poling 조건에 관계없이 압전정수의 온도 특성은 유사하나 그 값이 poling 조건에 따라 차이가 있다. 이것을 알아보기 위하여 0.6MV/cm, 60Hz의 고류전류를 인가하면서 D-E 히스테리시스를 관측하였으며 Fig6은 그 일 예이다.

Fig7은 D-E 히스테리시스곡선에서 구한 잔류분극Pr과 압전변형정수 d_{33} 의 관계를 나타낸 것으로 선형적인 관계임을 알 수 있다.

따라서 고분자수지의 고주파 영역 압전성은 주로 치수-변형효과와 자발분극-변형효과에 의한것으로 생각할 수 있다.

Fig8은 전압 출력개수의 온도 특성을 도시한 것으로 무기압전재(PZT A501)와 비교 할때 3~4배 크게 나타나고 있다.

4. 결론

BO-PVDF 필름의 압전성의 온도 특성을 0~100°C에서 실증한바 압전변형정수 d_{33} 은 온도에 따라 증가하는 경향을 보이며 압전용력정수 e_{33} 은 온도와 무관하게 나타났는데 이는 반정질재료의 용력에 따른 치수변화효과 또 과 poling 조건에 따른 d , e 의 값의 차이는 자발분극으로 설명 할 수 있었다. 또한 BO-PVDF의 전압 출력개수는 우수한 무기압전재보다 3~4배 큰값을 보여주었다.

참고문헌

1. K.R.Brain, Proc. Phys. Soc., 36, 81(1924)
2. I.S.Rez, Sov. Phys.-Crystallogr., 6, 521(1962)
3. 大東弘二 "압전재료의 제조와 응용" (1984)
4. 川辺和夫 "유전체 현상론"
5. J.Appl. phys. 49(10) October (1978)
6. J.Appl. phys. 56(11) December (1984)
7. J.Appl. phys. 49(8) August (1978)
8. J.Appl. phys. 54(10) October (1983)
9. J.MORT, G. PFISTER, "Electromic Properties of Polymers" (1982)

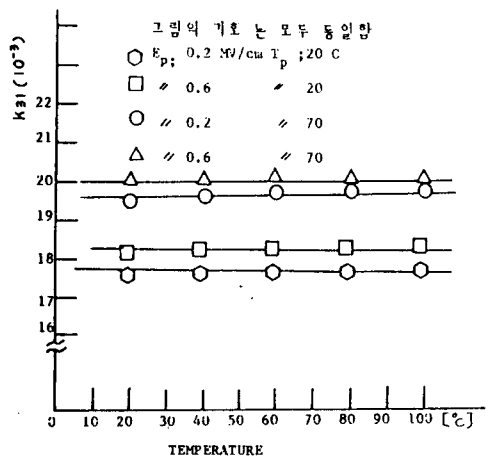


Fig. 1 Temperature dependance of electromechanical coupling factor, k_{31}

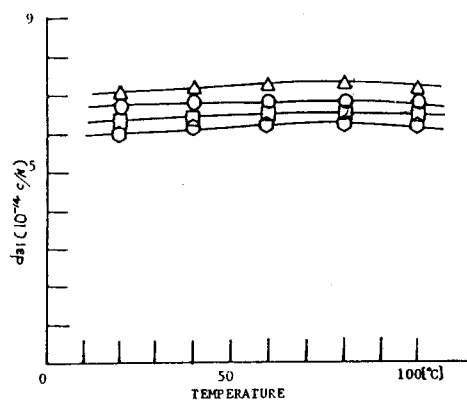


Fig. 3 Temperature dependance of the piezoelectric strain constant, d_{31}

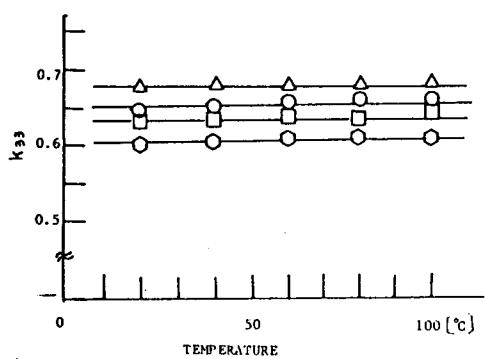


Fig. 2 Temperature dependance of electromechanical coupling factor, k_{33}

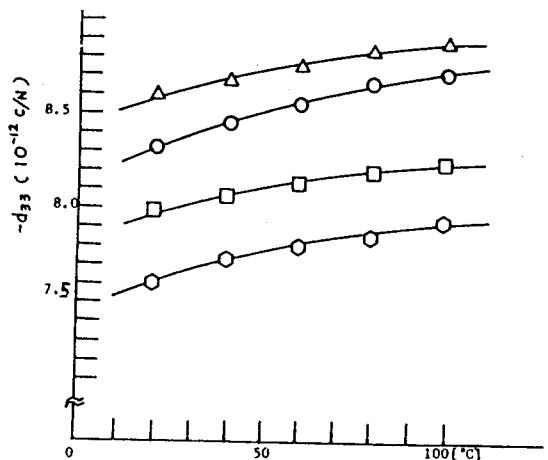


Fig. 4 Temperature dependance of piezoelectric strain constant, d_{33}

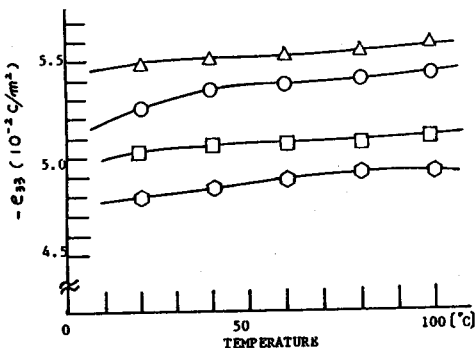


Fig. 5 temperature depandance of the piezoelectric stress constant e_{33}

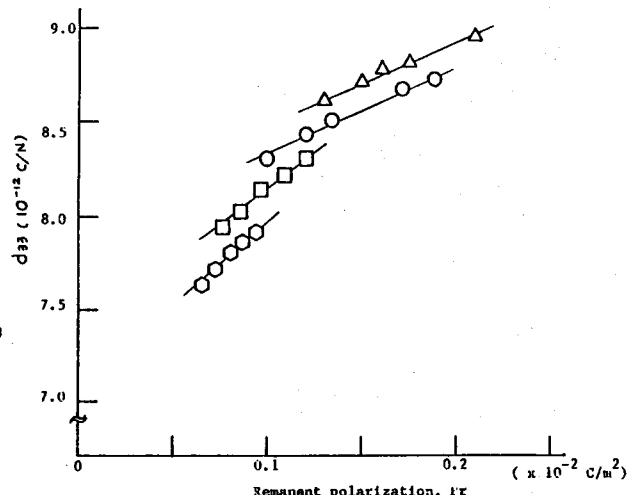


Fig. 7 The relation between d_{33} and P_r

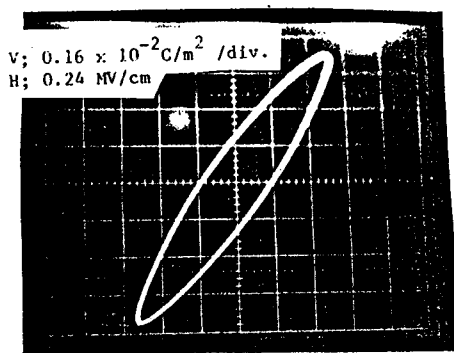


Fig. 6 D-E Hysteresis curve

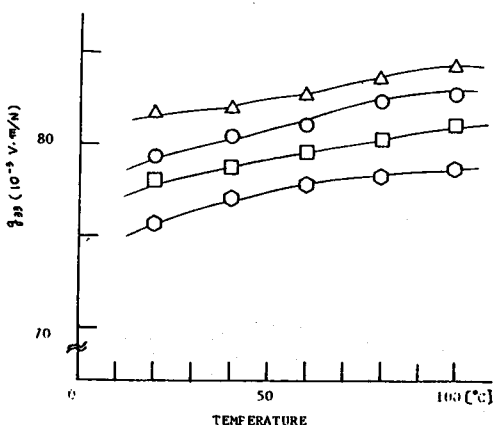


Fig. 8 Temperature dependance of e_{33}